

ОСЕСИММЕТРИЧНЫЕ ВЫНУЖДЕННЫЕ КОЛЕБАНИЯ ПОЛОГИХ
СФЕРИЧЕСКИХ УПРУГИХ ОБОЛОЧЕК И УПРУГОЙ СРЕДЫ

О. А. ЕГОРИЧЕВ, И. Г. ФИЛИПОВ

(Москва)

Решается осесимметричная динамическая задача о колебаниях пологих упругих сферических крышки и дна круглого цилиндрического бака, заполненного упругой средой (например, грунт), при воздействии на крышку бака импульсивной нагрузки. Стенки бака считаются абсолютно жесткими, трение между стенкой бака и упругой средой отсутствует. Считается, что контакт между крышкой бака и упругой средой в любой момент времени не нарушается. Крышка и дно бака жестко соединены со стенкой бака.

1. Рассмотрим круглый цилиндрический бак радиуса r_0 с пологими сферическими упругими днищами радиуса R_2 и крышкой радиуса R_1 , полость между крышкой бака и дном заполнена упругой средой (наполнитель) (фиг. 1).

Пусть в некоторый момент времени $t_0 = -h/a$, где a — скорость продольной волны в наполнителе, к крышке бака прикладывается импульсное давление интенсивности $\varphi(t)$. Необходимо определить напряженное и деформированное состояние наполнителя и колебания крышки и дна бака.

Для решения введем следующие предположения:

При определении возмущенного поля в упругом наполнителе граничное условие на крышке заменяется соответствующим условием на плоскости сечения $y=h$, а граничное условие на дне — условием на плоскости $y=0$.

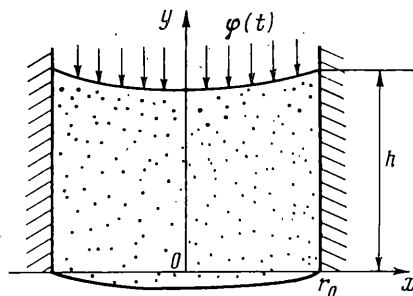
Возмущенное поле в упругом наполнителе приближенно принимается соответствующим плоскому деформированному состоянию, так как стенки бака считаются абсолютно жесткими.

Производными от компонент вектора перемещения частиц наполнителя по координате r , в силу малости их по сравнению с производными по координате y , в уравнениях движения частиц наполнителя будем пренебрегать.

Введем безразмерные переменные, принимая за размерные параметры высоту h и скорость продольной волны a . Возмущенное поле в наполнителе определяется из следующей системы уравнений:

$$(1.1) \quad \frac{\partial^2 \Phi}{\partial y^2} = \frac{\partial^2 \Phi}{\partial \tau^2} \quad (0 < y < 1, \tau > -1)$$

$$(1.2) \quad \frac{\partial \Phi}{\partial y} = w_1 \quad (y=1)$$



Фиг. 1

$$(1.3) \quad \frac{\partial \Phi}{\partial y} = w_2 \quad (y=0)$$

$$(1.4) \quad \Phi = \Phi_{\tau'} = 0 \quad (\tau \leq -1)$$

где $\tau = at/h$; w_1 и w_2 — безразмерные величины прогиба соответственно крышки и днища, Φ — безразмерный потенциал продольной волны; все величины с индексом 1 относятся к крышке, а с индексом 2 — к днищу.

Запишем решение уравнения (1.1) в виде

$$(1.5) \quad \Phi(y, \tau) = \Phi_0(\tau + y - 1) + \Phi_1(\tau - y + 1)$$

где Φ_0, Φ_1 — произвольные функции, определяемые из условий (1.2) и (1.3).

Для определения величин прогиба $w_1(r, \tau)$ и $w_2(r, \tau)$ имеем уравнения [1, 2]

$$(1.6) \quad D_1 \nabla^4 w_1(r, \tau) + h^4 (K_1 - \rho g) w_1(r, \tau) + a^2 \rho_1 h_1 h^2 w_1''(r, \tau) = \\ = q_1(r, \tau) + h^3 \varphi(\tau) H(\tau + 1), \quad q_1(r, \tau) = -h^3 (\sigma_{yy})_{y=1}$$

$$(1.7) \quad D_2 \nabla^4 w_2(r, \tau) + h^4 (K_2 - \rho g) w_2(r, \tau) + a^2 \rho_2 h_2 h^2 w_2''(r, \tau) = q_2(r, \tau) \\ q_2(r, \tau) = h^3 (\sigma_{yy})_{y=0}$$

Используя закон Гука и соотношения (1.2), (1.3), (1.5), выразим нормальное напряжение через функции прогиба

$$(1.8) \quad (\sigma_{yy})_{y=0} = (\lambda + 2\mu) \left[w_2(r, \tau) + \right. \\ \left. + 2 \sum_{n=0}^{n_0} \dot{w}_1(r, \tau - 2n - 1) - 2 \sum_{n=0}^{n_0} \dot{w}_2(r, \tau - 2n) \right]$$

$$(1.9) \quad (\sigma_{yy})_{y=1} = -(\lambda + 2\mu) \left[\dot{w}_1(r, \tau) - \right. \\ \left. - 2 \sum_{n=0}^{n_0} \dot{w}_1(r, \tau - 2n) + 2 \sum_{n=0}^{n_0} \dot{w}_2(r, \tau - 2n - 1) \right]$$

причем λ, μ — модули упругости наполнителя; $n_0 = [1/2\tau]$ — целая часть числа, заключенного в скобки.

Подставляя в уравнения (1.6) и (1.7) значения $(\sigma_{yy})_{y=1}$ и $(\sigma_{yy})_{y=0}$ из (1.8) и (1.9), получим

$$(1.10) \quad \nabla^4 w_1(r, \tau) + D_3 w_1(r, \tau) + D_4 w_1''(r, \tau) - D_5 \left[\dot{w}_1(r, \tau) - \right. \\ \left. - 2 \sum_{n=0}^{n_0} \dot{w}_1(r, \tau - 2n) + 2 \sum_{n=0}^{n_0} \dot{w}_2(r, \tau - 2n - 1) \right] = D_6 \varphi(\tau) H(\tau + 1)$$

$$(1.11) \quad \nabla^4 w_2(r, \tau) + D_7 w_2(r, \tau) + D_8 w_2''(r, \tau) - D_9 \left[\dot{w}_2(r, \tau) + \right. \\ \left. + 2 \sum_{n=0}^{n_0} \dot{w}_1(r, \tau - 2n - 1) - 2 \sum_{n=0}^{n_0} \dot{w}_2(r, \tau - 2n) \right] = 0$$

$$D_3 = h^4 (K_1 - \rho g) / D_1, \quad D_4 = a^2 \rho_1 h_1 h^2 / D_1, \quad D_5 = h^3 (\lambda + 2\mu) / D_1 \\ D_6 = h^3 / D_1, \quad D_7 = h^4 (K_2 - \rho g) / D_2, \quad D_8 = a^2 \rho_2 h_2 h^2 / D_2, \\ D_9 = h^3 (\lambda + 2\mu) / D_2$$

Здесь $H(\tau)$ — единичная функция Хевисайда, D_1 и D_2 — коэффициенты жесткости, ρ_1, ρ_2, h_1, h_2 — плотности и толщины, ρ, g — плотность и ускорение силы тяжести упругого наполнителя, ∇^4 — бигармонический оператор, зависящий от r . Точки над w_1 и w_2 обозначают дифференцирование по τ , $K_1 = E_1 h_1 R_1^{-2}$, $K_2 = E_2 h_2 R_2^{-2}$, E_1 и E_2 — модули упругости.

Начальные и граничные условия для w_1 и w_2 имеют вид

$$(1.12) \quad w_1 = \dot{w}_1 = 0 (\tau = -1), \quad w_1 = \frac{\partial w_1}{\partial r} = 0 \left(r = r_{10} = \frac{r_0}{h} \right)$$

$$w_2 = \dot{w}_2 = 0 (\tau = 0), \quad w_2 = \frac{\partial w_2}{\partial r} = 0 (r = r_{10})$$

Решение уравнений (1.10) и (1.11) будем искать в виде

$$(1.13) \quad w_1(r, \tau) = w_{11}(r, \tau) + w_{12}(\tau), \quad w_2(r, \tau) = w_{21}(r, \tau) + w_{22}(\tau)$$

где w_{11} и w_{21} — решения соответственно однородных уравнений (1.10), (1.11), а w_{12} и w_{22} — частные решения неоднородных уравнений. Для определения w_{12} и w_{22} получим уравнения

$$(1.14) \quad D_3 w_{12}(\tau) + D_4 w_{12}''(\tau) - D_5 \left[w_{12}''(\tau) - 2 \sum_{n=0}^{n_0} w_{12}'(\tau - 2n) + \right. \\ \left. + 2 \sum_{n=0}^{n_0} w_{22}'(\tau - 2n - 1) \right] = D_6 \varphi(\tau) H(\tau + 1)$$

$$(1.15) \quad D_7 w_{22}(\tau) + D_8 w_{22}''(\tau) - D_9 \left[w_{22}'(\tau) - 2 \sum_{n=0}^{n_0} w_{22}'(\tau - 2n) + \right. \\ \left. + 2 \sum_{n=0}^{n_0} w_{12}'(\tau - 2n - 1) \right] = 0$$

Применив к уравнениям (1.14) и (1.15) преобразование Лапласа по τ , имеем

$$(1.16) \quad w_{120}(p) = B_1 \varphi_0(p) f_{10}(p), \quad w_{220}(p) = B_8 \varphi_0(p) f_{20}(p)$$

$$(1.17) \quad f_{10}(p) = \frac{1}{B_2} (1 - e^{-2p}) \left[1 - \frac{p^2 - B_3 p + B_4}{p^2 + B_3 p + B_4} \right] e^{-2p} \sum_{n=0}^{\infty} F_{1n}(p) e^{-2np}$$

$$f_{20}(p) = \frac{2}{B_2} p (1 - e^{-2p}) e^{-p} \sum_{n=0}^{n_0} F_{2n}(p) e^{-2np}$$

$$F_{1n}(p) = Q_1(p) (p^2 + B_3 p + B_4)^{-n} (p^2 + B_5 p + B_6)^{-(n+1)}$$

$$Q_1(p) = [(p^2 - B_3 p + B_4)(p^2 + B_5 p + B_6) + (p^2 + B_3 p + B_4)(p^2 - B_5 p + B_6) + 4B_7 p^2]^{-1}$$

$$F_{2n}(p) = F_{1n}(p) (p^2 + B_3 p + B_4)^{-1}, \quad B_1 = D_6 D_8, \quad B_2 = D_4 D_8$$

$$B_3 = D_9 D_8^{-1}, \quad B_4 = D_7 D_8^{-1}, \quad B_5 = D_5 D_4^{-1}, \quad B_6 = D_3 D_4^{-1}, \quad B_7 = D_5 D_9, \quad B_8 = D_6 D_9$$

Обращая по p выражения (1.17), получим [3]

$$f_1(\tau) = \frac{1}{2\pi i} \int_L f_{10}(p) e^{p\tau} dp = \frac{2}{B_2} \sum_{n=0}^{n_0} \sum_{l=1}^{n+1} \sum_{k=1}^4 \frac{e^{p_k(\tau-2n)}}{(n+1-l)!(l-1)!} \times \\ \times \{ [(\tau-2n)^{n+1-l} - (\tau-2n-1)^{n+1-l} e^{-p_k}] N_{1kl}(p_k) - \\ - [(\tau-2n-1)^{n+1-l} - (\tau-2n-2)^{n+1-l} e^{-2p_k}] N_{2kl}(p_k) \}$$

$$f_2(\tau) = \frac{1}{2\pi i} \int_L f_{20}(p) e^{p\tau} dp = \frac{4}{B_2} \sum_{n=0}^{n_0} \sum_{l=1}^{n+1} \sum_{h=1}^4 \frac{e^{p_h(\tau-2n-1/2)}}{(n+1-l)!(l-1)!} \times$$

$$\times N_{3hl}(p_h) \left[\left(\tau - 2n - \frac{1}{2} \right)^{n+1-l} - \left(\tau - 2n - \frac{3}{2} \right)^{n+1-l} e^{-p_h} \right]$$

$$N_{1hl}(p_h) = \frac{d^{l-1}}{dp^{l-1}} \left[\frac{Q_1(p)}{P_{1h}(p)} \right]_{p=p_h}, \quad N_{2hl}(p_h) = \frac{d^{l-1}}{dp^{l-1}} \left[\frac{Q_2(p)}{P_{2h}(p)} \right]_{p=p_h}$$

$$P_{11}(p) = (p-p_2)^n (p-p_3)^{n+1} (p-p_4)^{n+1}, \quad P_{12}(p) = (p-p_1)^n (p-p_3)^{n+1} (p-p_4)^{n+1}$$

$$P_{13}(p) = (p-p_1)^n (p-p_2)^n (p-p_4)^{n+1}, \quad P_{14}(p) = (p-p_1)^n (p-p_2)^n (p-p_3)^{n+1}$$

$$Q_2(p) = Q_1(p) (p^2 - B_3 p + B_4), \quad P_{2h} = P_2(p) (p-p_h)^{-(n+1)}$$

$$P_2(p) = [(p-p_1)(p-p_2)(p-p_3)(p-p_4)]^{n+1}$$

$$N_{3hl}(p_h) = \frac{d^{l-1}}{dp^{l-1}} \left[\frac{Q_3(p)}{P_{2h}(p)} \right]_{p=p_h}, \quad Q_3(p) = p Q_1(p)$$

Здесь p_1 и p_2 — корни уравнения $p^2 + B_3 p + B_4 = 0$, а p_3 и p_4 — корни уравнения $p^2 + B_5 p + B_6 = 0$.

Применяя к выражениям (1.16) теорему свертки, получим

$$w_{12}(\tau) = B_1 \int_{-1}^{\tau} \varphi(\tau-\xi) f_1(\xi) d\xi, \quad w_{22}(\tau) = B_8 \int_0^{\tau} \varphi(\tau-\xi) f_2(\xi) d\xi$$

Перейдем к определению w_{11} и w_{21} , которые удовлетворяют уравнениям

$$(1.18) \quad \nabla^4 w_{11}(r, \tau) + D_3 w_{11}(r, \tau) + D_4 \ddot{w}_{11}(r, \tau) - D_5 \left[w_{11}(r, \tau) -$$

$$- 2 \sum_{n=0}^{n_0} \dot{w}_{11}(r, \tau - 2n) + 2 \sum_{n=0}^{n_0} \dot{w}_{21}(r, \tau - 2n - 1) \right] = 0$$

$$\nabla^4 w_{21}(r, \tau) + D_7 w_{21}(r, \tau) + D_8 \ddot{w}_{21}(r, \tau) - D_9 \left[w_{21}(r, \tau) +$$

$$+ 2 \sum_{n=0}^{n_0} \dot{w}_{11}(r, \tau - 2n - 1) - 2 \sum_{n=0}^{n_0} \dot{w}_{21}(r, \tau - 2n) \right] = 0$$

Применяя к (1.18) преобразование Лапласа по τ и сделав ряд преобразований, получим

$$\nabla^8 w_{j10}(r, p) + A(p) \nabla^4 w_{j10}(r, p) + B(p) w_{j10}(r, p) = 0 \quad (j=1, 2)$$

$$A(p) = A_1(p) + A_2(p), \quad B(p) = A_1(p) A_2(p) - A_3(p) A_4(p)$$

$$A_1(p) = D_4 p^2 + D_5 p \operatorname{cth} p + D_3, \quad A_3(p) = D_5 p \operatorname{csch} p$$

$$A_2(p) = D_8 p^2 + D_9 p \operatorname{cth} p + D_7, \quad A_4(p) = D_9 p \operatorname{csch} p$$

Таким образом, решение задачи свелось к нахождению решения двух обыкновенных дифференциальных уравнений.

2. Рассмотрим, например, упрощенную задачу, когда крышка бака отсутствует и импульсивное давление действует непосредственно на поверхность упругого наполнителя.

Сохраняя приведенные выше предположения, определение возмущения в наполнителе сводится к решению следующей задачи:

$$(2.1) \quad \frac{\partial^2 \Phi}{\partial y^2} = \frac{\partial^2 \Phi}{\partial \tau^2} \quad (0 < y < 1, \tau > -1)$$

$$\sigma_{yy} = -\varphi(\tau) H(\tau+1) \quad (y=1)$$

$$\frac{\partial \Phi}{\partial y} = w_2(r, \tau) \quad (y=0), \quad \Phi = \Phi' = 0 \quad (\tau \leq -1)$$

Общее решение уравнения (2.1) имеет вид $\Phi(\tau, y) = \Phi_0(\tau+y) + \Phi_1(\tau-y)$.

Тогда, используя общее решение и условия (2.1), для нормального напряжения при $y=0$ получим выражение

$$(2.2) \quad (\sigma_{yy})_{y=0} = (\lambda+2\mu) \left[w_2^*(r, \tau) - 2 \sum_{n=0}^{n_0} (-1)^n w_2^*(r, \tau-2n) \right] - 2 \sum_{n=0}^{n_0} (-1)^n \varphi(\tau-2n)$$

Используя выражение (2.2), уравнение (1.7) для определения прогиба днища $w_2(r, \tau)$ принимает вид

$$(2.3) \quad \nabla^4 w_2(r, \tau) + D_7 w_2(r, \tau) + D_8 w_2''(r, \tau) = D_9 \left[w_2^*(r, \tau) - 2 \sum_{n=0}^{n_0} (-1)^n w_2^*(r, \tau-2n) \right] - 2 D_{10} \sum_{n=0}^{n_0} (-1)^n \varphi(\tau-2n)$$

где $D_{10} = h^3/D_2$ с граничными условиями (1.12).

Так же, как и в п. 1, решение уравнения (2.3) будем искать в виде суммы двух функций (1.13).

Величина $w_{22}(\tau)$ удовлетворяет уравнению

$$(2.4) \quad D_7 w_{22}(\tau) + D_8 w_{22}''(\tau) - D_9 \left[w_{22}^*(\tau) - 2 \sum_{n=0}^{n_0} (-1)^n w_{22}^*(\tau-2n) \right] = -2 \sum_{n=0}^{n_0} (-1)^n D_{10} \varphi(\tau-2n)$$

Применяя к (2.4) преобразование Лапласа по τ , получим

$$(2.5) \quad w_{220}(p) = -D_{10}/D_8 \varphi_0(p) f_0(p)$$

$$f_0(p) = \sum_{n=0}^{\infty} (-1)^n e^{-2np} (p^2 - B_3 p + B_4)^n (p^2 + B_3 p + B_4)^{-(n+1)}$$

Обращая $f_0(p)$, имеем [3]

$$f(\tau) = \frac{1}{2\pi i} \int_L f_0(p) e^{\tau p} dp =$$

$$= 2 \sum_{n=0}^{n_0} (-1)^n \sum_{l=1}^{n+1} \left[\frac{N_{1l}(p_1)}{(n+1-l)!(l-1)!} (\tau-2n)^{n+1-l} e^{p_1(\tau-2n)} + \frac{N_{2l}(p_2)}{(n+1-l)!(l-1)!} (\tau-2n)^{n+1-l} e^{p_2(\tau-2n)} \right]$$

где p_1, p_2 — корни уравнения $p^2 + B_3 p + B_4 = 0$

$$N_{ji}(p_j) = \frac{d^{j-1}}{dp^{j-1}} \left[\frac{Q(p)}{P_j(p)} \right]_{p=p_j} \quad (j=1,2)$$

$$Q(p) = (p^2 - B_3 p + B_4)^n, \quad P_j(p) = (p - p_j)^{n+1}$$

Применяя к (2.5) теорему свертки, находим

$$(2.6) \quad w_{22}(\tau) = \frac{D_{10}}{D_8} \int_0^\tau \varphi(\tau - \xi) f(\xi) d\xi$$

Перейдем к определению $w_{21}(r, \tau)$, которое удовлетворяет уравнению

$$(2.7) \quad \nabla^4 w_{21}(r, \tau) + D_7 w_{21}(r, \tau) + D_8 w_{21}''(r, \tau) -$$

$$- D_9 \left[w_{21}'(r, \tau) - 2 \sum_{n=0}^{n_0} (-1)^n w_{21}'(r, \tau - 2n) \right] = 0$$

Применяя преобразование Лапласа по τ к уравнению (2.7), получим

$$(2.8) \quad \nabla^4 w_{210}(r, p) + A(p) w_{210}(r, p) = 0, \quad A(p) = D_8 p^2 + D_9 p \operatorname{th} p + D_7$$

Общее решение уравнения (2.8) имеет вид

$$(2.9) \quad w_{210}(r, p) = C_1 J_0(r\sqrt{A}) + C_2 N_0(r\sqrt{A}) + C_3 I_0(r\sqrt{A}) + C_4 K_0(r\sqrt{A})$$

где $J_0(\xi)$, $N_0(\xi)$, $I_0(\xi)$, $K_0(\xi)$ — функции Бесселя первого и второго рода действительного и мнимого аргумента.

Постоянные C_1, C_2, C_3, C_4 определяются из граничных условий (1.12) относительно $w_{20}(r, p) = w_{210}(r, p) + w_{220}(p)$ и условий регулярности $w_{20}(r, p)$ при $r=0$.

Учитывая, что прогиб $w_{20}(r, p)$ — величина конечная, и зная свойства функции Бесселя, из выражения (2.9) следует, что постоянные C_2 и C_4 должны равняться нулю. Тогда, подставив (2.9) в граничное условие (1.12), найдем, что

$$(2.10) \quad C_1 = -w_{220}(p) I_1(z) [J_0(z) I_1(z) + J_1(z) I_0(z)]^{-1}$$

$$C_2 = -w_{220}(p) J_1(z) [J_0(z) I_1(z) + J_1(z) I_0(z)]^{-1}, \quad z = r_{10} \sqrt{A}(p)$$

Подставив выражение (2.10) в соотношение (2.9), получим

$$(2.11) \quad w_{20}(r, p) = w_{220}(p) \left[1 - \frac{J_0(r\sqrt{A}) I_1(z) + J_1(z) I_0(r\sqrt{A})}{J_0(z) I_1(z) + J_1(z) I_0(z)} \right]$$

Обращая (2.11) по p , получим

$$(2.12) \quad w_2(r, \tau) = \int_0^\tau w_{22}(\tau - \xi) W(r, \xi) d\xi$$

$$(2.13) \quad W(r, \tau) = \frac{1}{2\pi i} \int_L \left[1 - \frac{J_0(r\sqrt{A}) I_1(z) + J_1(z) I_0(r\sqrt{A})}{J_0(z) I_1(z) + J_1(z) I_0(z)} \right] e^{p\tau} dp$$

Для того чтобы проанализировать решение, необходимо вычислить квадратуру в формуле (2.13). Интеграл (2.13) будем вычислять методом вычетов, для чего исследуем вначале знаменатель подынтегрального выражения.

Определим корни уравнения

$$(2.14) \quad J_0(z) I_1(z) + J_1(z) I_0(z) = 0$$

Первые двадцать корней, с точностью до четвертого знака после запятой, равны: $z_1=3.1965$, $z_2=6.3065$, $z_3=9.4395$, $z_4=12.5771$, $z_5=15.7164$, $z_6=18.8580$, $z_7=22.0000$, $z_8=25.1390$, $z_9=28.2800$, $z_{10}=31.4200$, $z_{11}=34.5610$, $z_{12}=37.7020$, $z_{13}=40.8440$, $z_{14}=43.9850$, $z_{15}=47.1270$, $z_{16}=50.2680$, $z_{17}=53.4096$, $z_{18}=56.4096$, $z_{19}=59.6930$, $z_{20}=62.8344$.

Остальные корни (2.14) приближенно вычисляются из асимптотических выражений для $J_\nu(z)$, $I_\nu(z)$ при больших z и равны $z_m = \pi(m - 1/4)$, $m=21, \dots$. Погрешность при расчете по данной формуле не превышает 1%.

Таким образом, определение корней уравнения (2.14) сводится к решению трансцендентного уравнения

$$(2.15) \quad D_8 p^2 + D_9 \operatorname{th} p = [(z_m / r_{10})^4 - D_7]$$

Заметим, что уравнение (2.15) относительно p является четным, а коэффициенты D_8 и D_9 всегда положительны.

Рассмотрим, при каких условиях уравнение (2.15) имеет корни на действительной и мнимой оси в плоскости $p = \eta + i\xi$.

На действительной оси, т. е. при $\xi = 0$, имеем

$$(2.16) \quad D_8 \eta^2 + D_9 \operatorname{th} \eta = [(z_m / r_{10})^4 - D_7]$$

Уравнение (2.16) имеет действительные корни лишь при

$$(2.17) \quad [(z_m / r_{10})^4 - D_7] \geq 0$$

На мнимой оси, т. е. при $\eta = 0$, уравнение (2.15) примет вид

$$(2.18) \quad D_8 \xi^2 + D_9 \xi \operatorname{tg} \xi = -[(z_m / r_{10})^4 - D_7]$$

Уравнение (2.18) имеет действительные корни при условии

$$(2.19) \quad [(z_m / r_{10})^4 - D_7] \leq 0$$

Из выражений (2.17) и (2.19) следует, что при тех значениях z_m , при которых (2.16) имеет действительные корни, уравнение (2.18) действительных корней не имеет и наоборот.

Кроме того, корень $p=0$ уравнения (2.15) существует лишь при $[(z_m / r_{10})^4 - D_7] = 0$, т. е. при заданных значениях параметров упругого наполнителя и упругого днища корень $p=0$ существует лишь при дискретных значениях r_{10} .

Рассмотрим интеграл

$$T = \int_L \frac{J_0(r\sqrt{A})I_1(z) + J_1(z)I_0(r\sqrt{A})}{J_0(z)I_1(z) + J_1(z)I_0(z)} e^{p\tau} dp$$

Используя метод вычетов, получим следующее выражение:

$$(2.20) \quad T = \frac{4\pi i}{r_{10}} \sum_{d=1}^{\infty} \sum_{j=1}^{\infty} e^{p_d j \tau} [J_0(r\sqrt{A_j})I_1(z_j) + J_1(z_j)I_0(r\sqrt{A_j})] \times \\ \times \frac{[D_8 p_d^2 + D_7 + D_9 p_d \operatorname{th} p_d]^{1/4}}{J_0(z_j)I_0(z_j)[2D_8 p_d + D_9(e^{2p_d j} - e^{-2p_d j} - 4p_d)(e^{p_d j} + e^{-p_d j})^{-2}]}$$

Зная выражения для $w_{22}(\tau)$ (2.6) и подставляя (2.20) в (2.13), получим значение функции прогиба $w_2(r, \tau)$ в аналитическом виде.

Аналогично решается задача, когда днище бака считается жестким и жестко соединенным со стенками бака, а импульс воздействует на крышку бака.

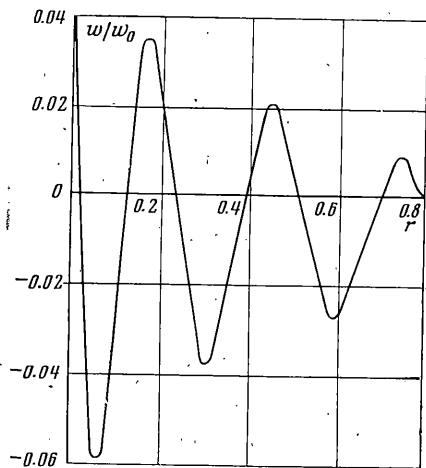
3. Рассмотрим пример численного расчета динамической задачи о колебании упругого дна цилиндрического бака, заполненного упругой средой. Решение задачи получено в п. 2. Расчет ведется с использованием ЭВМ.

Характерные геометрические размеры: $R_2=30$ м, $h_2=0.04$ м, $h=2$ м, $r_0=3$ м. Упругие свойства наполнителя и дна таковы: $\lambda=1.03 \cdot 10^{10}$ кг/м², $\mu=1.5 \cdot 10^{10}$ кг/м², $\rho=1.5 \cdot 10^3$ кг/сек²/м⁴, $a=4 \cdot 10^3$ м/сек, $\rho_2=7.8 \cdot 10^3$ кг/сек²/м⁴, $E_2=20.6 \cdot 10^{10}$ кг/м².

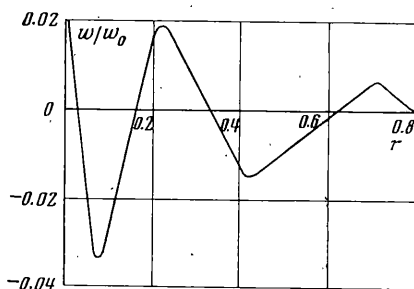
Для нахождения численного решения задачи следует найти корни трансцендентного уравнения (2.15).

Корни z_m приведены в п. 2. Величины действительных корней равны: $p_1=0.083046$, $p_2=-0.083046$, $p_3=0.328688$, $p_4=-0.328688$, $p_5=0.792509$, $p_6=-0.792509$, $p_7=1.742197$, $p_8=-1.742197$, $p_9=3.926732$, $p_{10}=-3.926732$, $p_{11}=7.866539$, $p_{12}=-7.866539$.

Зная корни уравнения (2.15) и используя соотношение (2.20), получим изменение функции прогиба $w_2(r, \tau)$ в зависимости от r , представленной на графике (фиг. 2), при постоянных значениях безразмерной величины τ .



Фиг. 2



Фиг. 3

Рассмотрим задачу, когда высота упругого наполнителя $h=10$ м, а остальные размеры и упругие константы остаются неизменными. В этом случае действительные корни уравнения (2.15) равны: $p_1=0.002106$, $p_2=-0.002106$, $p_3=0.012634$, $p_4=-0.012634$, $p_5=0.028806$, $p_6=-0.028806$, $p_7=0.051387$, $p_8=-0.051387$, $p_9=0.080300$, $p_{10}=-0.080300$, $p_{11}=0.115773$, $p_{12}=-0.115773$, $p_{13}=0.157883$, $p_{14}=-0.157883$, $p_{15}=0.206782$, $p_{16}=-0.206782$, $p_{17}=0.262776$, $p_{18}=-0.262776$, $p_{19}=0.326323$, $p_{20}=-0.326323$, $p_{21}=0.397956$, $p_{22}=-0.397956$, $p_{23}=0.478743$, $p_{24}=-0.478743$, $p_{25}=0.569753$, $p_{26}=-0.569753$, $p_{27}=0.672587$, $p_{28}=-0.672587$, $p_{29}=0.789686$, $p_{30}=-0.789686$, $p_{31}=0.923950$, $p_{32}=-0.923950$, $p_{33}=1.079650$, $p_{34}=-1.079650$, $p_{35}=1.262204$, $p_{36}=-1.262204$, $p_{37}=1.478780$, $p_{38}=-1.478780$, $p_{39}=1.737544$, $p_{40}=-1.737544$.

Изменение функции прогиба $w_2(r, \tau)$ в зависимости от r представлено на графике (фиг. 3).

Следует отметить, что точность расчета в этих задачах, начиная с 30 членов ряда, практически не возрастает. Так, разница между рядом, состоящим из 30 членов, и рядом, состоящим из 40 членов, составляет всего 0.5%. Это указывает на достаточно быструю сходимость ряда (2.20).

Поступила 14 XII 1973

ЛИТЕРАТУРА

1. Власов В. З. Общая теория оболочек и ее применение в технике. М.—Л., Гостехиздат, 1949.
2. Тимошенко С. П. Колебания в инженерном деле. М., «Наука», 1967.
3. Бейтмен Г., Эрдейи А. Таблицы интегральных преобразований. Преобразования Фурье, Лапласа и Меллина, т. 1, М., «Наука», 1969.